

ABSTRAKT

Kozmická loď s trojuholníkovým trupom s vertikálnymi elektrostatickými nábojmi na každom rohu, ktoré vytvárajú horizontálne elektrické pole paralelné s bokmi trupu. Toto pole interagujúce s rovinnou vlnou vyžarovanou anténami na strane trupu vytvára silu na objem, ktorá kombinuje výťah a pohon.

NÁROKY (4)

1 . Kozmická loď pozostávajúca z týchto komponentov:

a) trojuholníkový trup vo forme rovnostranného trojuholníka;

(B) dva medené dosky pripevnené na protiahlých zvislých strán na každej z troch rohov trupu (1) tak, že sa vytvorí ostrý zvislý okraj, kde sa stretávajú;

c) elektrostatický generátor, ktorý sa používa na nabíjanie zadných dvoch rohov z medi (1 b) s vysokým kladným napätím a tretí dopredný roh z medi s vysokým záporným napätím;

d) horizontálne usporiadanie anténnych slotov namontovaných na bokoch trupu; a

(e) frekvenčný generátor, anténa a koaxiálne káble na riadenie anténneho poľa (1 d).

2 . Pre vytvorenie, podľa nárokov (1 s , 1 b , 1 c), intenzívne vertikálneho náboja v rohoch (1 b) a vodorovnú elektrické pole, že je rovnobežná s stranách trupu (1);

3 . Pre vytvorenie, podľa nárokov (1 d , 1 e), elektromagnetické vlny s vertikálne polarizované elektrické pole pohybujúce sa smerom von zo strany trupu (1); a

4 . Vytváranie interakcií elektrostatického poľa (2) s elektromagnetickou vlnou (3) podľa nárokov (2 , 3) tak, že na trupu sa generuje kombinovaný tlak v oblúkovom čase v smere nahor a dopredu, aby sa vytvoril zdvih a pohon resp.

POPIS

STRUČNÝ ZHRNUTIE VYNÁLEZU

- [0001]

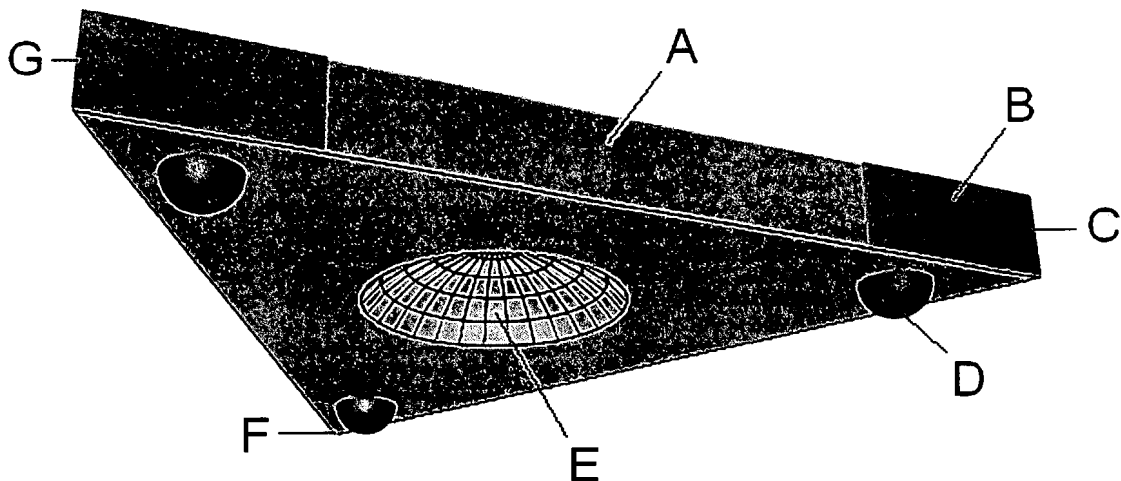
Tento vynález je kozmická loď majúca trojuholníkový trup s vertikálnymi elektrostatickými nábojmi na každom rohu. Linkový náboj vytvára horizontálne elektrické pole, ktoré spolu s rovinnou vlnou vyžarovanou anténami na strane trupu vytvára silu na objem, čo poskytuje jedinečnú kombináciu výťahu aj pohonu.

- **DOTERAJŠÍ STAV TECHNIKY**

- [0002]

Odkazujúc na Obr. 1, má kozmická loď trup v tvare rovnostranného trojuholníka. Parabolická anténa (E) je umiestnená v strede v spodnej časti trupu. Súbor horizontálnych slotových antén je umiestnený pozdĺž strany trupu (A). Každý zadný roh (F, G) má rohové vodivé dosky, ktoré sú nabité kladným napätím +V. Predný roh (C) má vodivú platňu nabitú záporným napätím -V. Riadiaca hemisféra (D) je umiestnená na spodnom povrchu v každom z troch rohov.

Figure 1



- [0003]

Odkazujúc na Obr. 2, dve roviny (A, B) pretínajú v mieste pôvodu O v uhle otvoru β . Každá rovina (x, y) je nabitá na napätie V. Potenciál v bode P sa určí polárnymi súradnicami $\{\rho, \varphi\}$. Laplaceova rovnica pre potenciálny Φ v polárnych súradniciach je daná:

$$\frac{1}{\rho} \frac{\partial}{\partial \rho} \left(\rho \frac{\partial \Phi}{\partial \rho} \right) + \frac{1}{\rho^2} \frac{\partial^2 \Phi}{\partial \varphi^2} = 0$$

Použitím riešenia oddelenia premenných je potenciál daný ako produkt dvoch funkcií:

$$\Phi(\rho, \varphi) = R(\rho) \Psi(\varphi),$$

ktoré sa po nahradení Laplaceovou rovnicou stávajú:

$$\rho \frac{d}{d\rho} \left(\rho \frac{dR}{d\rho} \right) + 1 \frac{d^2 \Psi}{d\varphi^2} = 0$$

Vzhľadom k tomu, že obidve ryby sú samostatnými funkciami ρ a φ , musí byť každý konštantný so súčtom konštant rovnajúci sa nule:

$$\rho \frac{d}{d\rho} \left(\rho \frac{dR}{d\rho} \right) = \text{proti } 2 \quad 1 \quad \Psi \frac{d}{d\varphi} \left(\Psi \frac{d\varphi}{d\varphi} \right) = - \text{proti } 2$$

Tieto dve rovnice majú riešenia:

$$R(\rho) = a\rho^{\nu} + b\rho^{-\nu}$$

$$\psi(\varphi) = A \cos(\nu\varphi) + B \sin(\nu\varphi)$$

Azimutálny uhol φ je obmedzený na hodnotu v rozsahu $0 \leq \varphi \leq \beta$. Hraničná podmienka je, že potenciál Φ je rovný V pre akýkoľvek polomer ρ , keď $\varphi = 0$ a $\varphi = \beta$. To znamená, že ν musí byť celočíselná hodnota π , takže sinusová funkcia je nula:

$$\text{hriech}(\nu\beta) = \text{hriech}(m\pi) = 0 \quad m = 1, 2, \dots$$

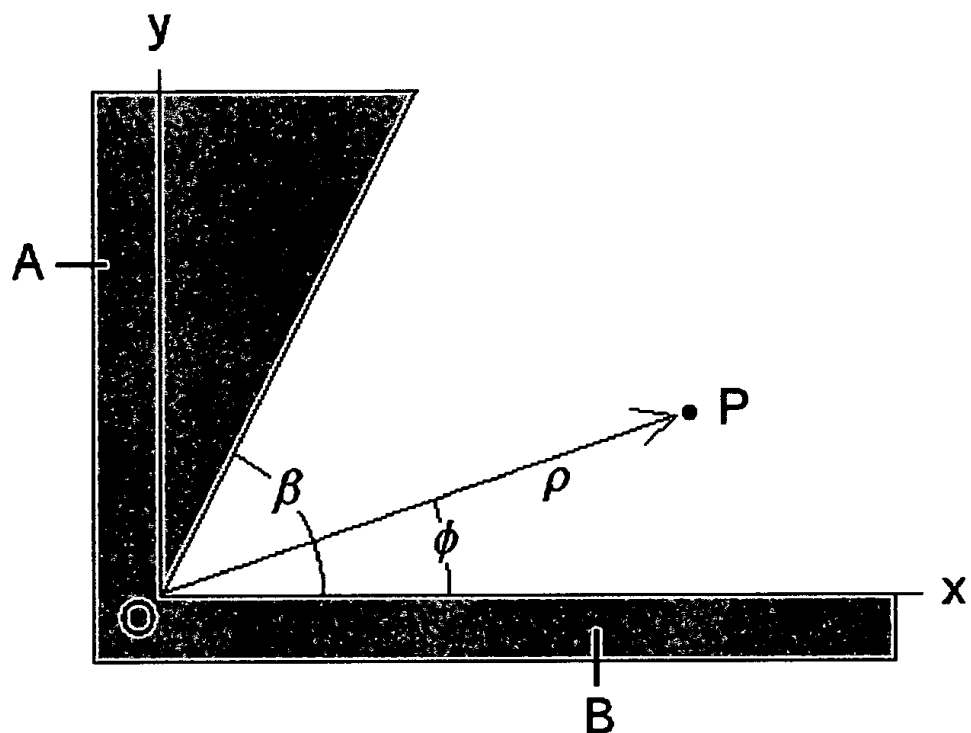
..

čo naopak znamená, že koeficient A kosínového termínu musí byť nulový vo vyššie uvedenom roztoku. Výberom $b = 0$ je všeobecné riešenie pre potenciál rovný:

$$\Phi(\rho, \varphi) = V + \sum_{m=1}^{\infty} m \rho^m \frac{\pi}{\beta} \text{hriech}\left(\frac{m\pi\varphi}{\beta}\right)$$

čo ukazuje, že keď je uhol nula, sínus je nula a potenciál je V . Ak je uhol β , potom existuje násobok π , takže sínus je opäť nula.

Figure 2



- [0004]

Vzhľadom k tomu, že séria zahŕňa kladné sily polomeru, pre dostatočne malú ρ je dôležitý len prvý termín $m = 1$ v sérii. Preto okolo $\rho = 0$ je potenciál približne

$$\Phi(\rho, \varphi) \approx V + a, \rho^{\pi/\beta} \sin(\pi\varphi/\beta)$$

- [0005]

Komponent elektrického poľa je negatívny gradient potenciálu:

$$E_{\varphi}(\rho, \varphi) = -\frac{1}{\rho} \frac{\partial \Phi}{\partial \varphi} = -\frac{\pi - 1}{\beta} \rho \left(\frac{\pi}{\beta} \right)^{-1} \cos\left(\frac{\pi\varphi}{\beta}\right)$$

Rozloženie povrchového náboja σ pri $\varphi = 0$ a $\varphi = \beta$ sa rovná elektrickému poľu kolmému na povrch v čase permitivity priestoru ϵ_0 :

$$\sigma(\rho) = \epsilon_0 E_{\varphi}(\rho, 0) = -\epsilon_0 \frac{\pi - 1}{\beta} \rho \left(\frac{\pi}{\beta} \right)^{-1}$$

Všimnite si, že ak uhol priesečnice β je menší ako π , potom rovnica hovorí, že je veľmi malý polomer k pozitívnemu výkonu, čo znamená nízku hromadenie hustoty náboja.

- [0006]

Odkazujúc na Obr. 3, hodnota β v prípade trojuholníkového trupu sa rovná 360° menej o 60° na celkovom počte 300° alebo:

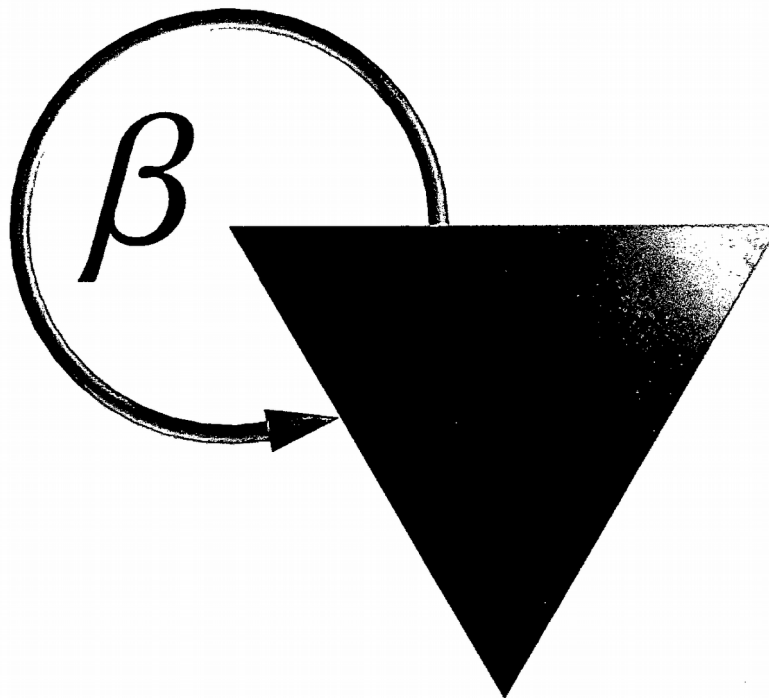
$$\beta = 360 - 60 = 300 \text{ } \pi = 5/3 \text{ } \pi \text{ } \rho \text{ } \pi \text{ } 5/3 \text{ } \pi - 1 = 1/2 \text{ } 5$$

v ktorom sa hovorí, že existuje dvojnásobná hustota náboja pre malý rádius. Rohové dosky na trupu tak vytvárajú obrovskú hustotu nabíjania na okraji pozdĺž ostrého vertikálneho rohového okraja. Rovnica pre potenciál hustoty náboja je uvedená ako:

$$\Phi(x, y) = -\frac{\lambda}{2\pi\epsilon_0} \ln\left(\sqrt{(x-x_0)^2 + (y-y_0)^2}\right)$$

kde λ je náboj na jednotku dĺžky vo vertikálnom smere z a x_0 a y_0 sú umiestnenie lineárneho náboja v rovine xy.

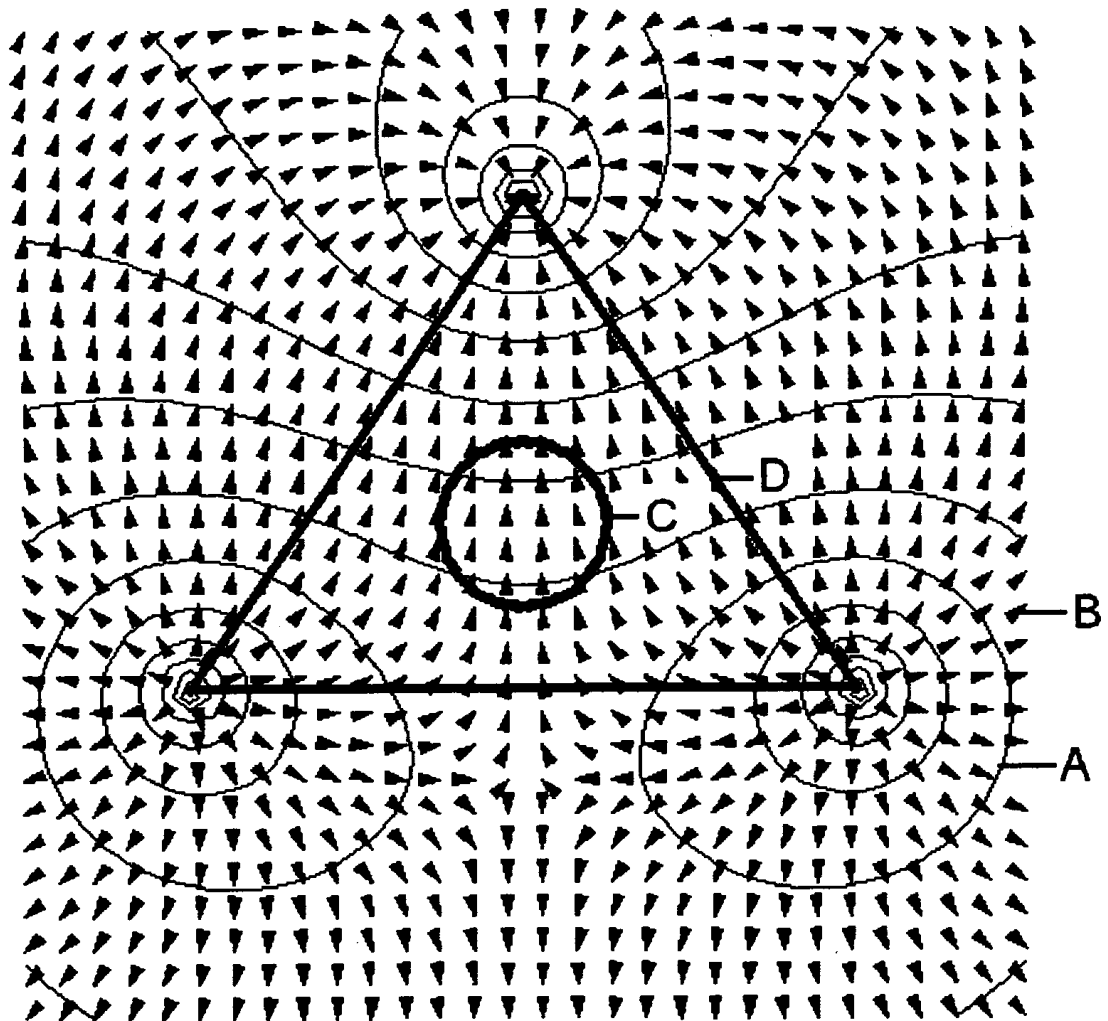
Figure 3



- [0007]

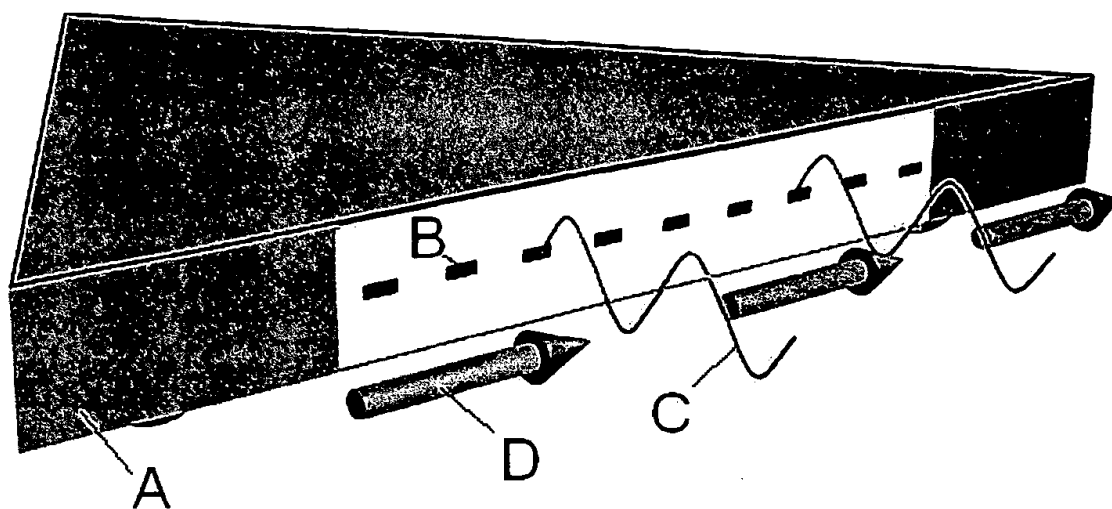
Odkazujúc na Obr. 4, trojuholníkový trup (D) je vykreslený spolu s potenciálnymi obrysami (A) a šípkami elektrického poľa (B) vytvorenými tromi rohovými vedeniami. Lineové poplatky sú kolmé na papier. Všimnite si, že šíčky elektrického poľa sú paralelne prechádzajúce cez strednú parabolickú anténu (C). Elektrické pole je rovnobežné so stranami (D) trojuholníka.

Figure 4



- [0008]
Odkazujúc na Obr. 5, pozdĺž strany trojuholníka (A), pole (B) vodorovných slotových antén vyžaruje elektromagnetické vlny, ktoré majú vertikálne polarizované elektrické pole E (C). Tieto cestujúce vlny interagujú s elektrickým poľom (D), ktoré vytvára líniové náboje v rohoch trojuholníka.

Figure 5



- [0009]

Pomocou diferenciálnych foriem matematiky je táto kombinácia polí predstavovaná Hodgeovou hviezdou diferenciálu klinového produktu oboch polí. Anténové elektromagnetické pole je kombináciou pohyblivého magnetického poľa B_w a elektrického poľa E_w . Stacionárne pole E vytvorené priamkami je kolmé na dráhu vlny.

$$* d (E \wedge (B_w + E_w \wedge dt)) \varepsilon C = \text{silu objemu}$$

kde ε je lineárna kapacita priestoru a c je rýchlosť svetla. Preto je okolo trupu silou na objem.

- [0010]

Táto kombinácia polí vytvára priestorové zakrivenie podľa Einsteinovej všeobecnej teórie relativity. Pohyblivé elektrické pole má amplitúdu vo vertikálnom smere a smeruje v smere x

$$E_w = E_z \cos (x-t)$$

Faraday elektromagnetický tenzor obsahuje všetky elektrické a magnetické polia vo všetkých $\{x, y, z\}$. Prvý riadok a prvý stĺpec obsahujú dve elektrické polia

$$F_{\alpha\beta} = \begin{pmatrix} 0 & E_x & 0 & E_z \cos (x - t) & 0 & 0 & 0 & 0 & 0 & 0 \\ E_x & 0 & 0 & 0 & 0 & 0 & 0 & 0 & 0 & 0 \\ 0 & 0 & 0 & 0 & 0 & 0 & 0 & 0 & 0 & 0 \\ 0 & 0 & 0 & 0 & 0 & 0 & 0 & 0 & 0 & 0 \\ 0 & 0 & 0 & 0 & 0 & 0 & 0 & 0 & 0 & 0 \\ 0 & 0 & 0 & 0 & 0 & 0 & 0 & 0 & 0 & 0 \\ 0 & 0 & 0 & 0 & 0 & 0 & 0 & 0 & 0 & 0 \\ 0 & 0 & 0 & 0 & 0 & 0 & 0 & 0 & 0 & 0 \\ 0 & 0 & 0 & 0 & 0 & 0 & 0 & 0 & 0 & 0 \\ 0 & 0 & 0 & 0 & 0 & 0 & 0 & 0 & 0 & 0 \end{pmatrix}$$

Stres pôsobiaci na priestorový čas sa vyskytuje v smeroch xx , yy a zz , vypočítaný z napätia-energia tenzor T gravitačnej fyziky

$$4 \pi T_{\mu\nu} \text{ proti } = F_{\mu\alpha} F_{\alpha\nu} - \frac{1}{4} g_{\mu\nu} \text{ proti } F_{\alpha\beta} F^{\alpha\beta}$$

kde g je metrický tenzor pre karteziánsky priestor

$$g_{\alpha\beta} = \begin{pmatrix} -1 & 0 & 0 & 0 & 0 & 0 & 0 & 0 & 0 & 0 \\ 0 & 1 & 0 & 0 & 0 & 0 & 0 & 0 & 0 & 0 \\ 0 & 0 & 1 & 0 & 0 & 0 & 0 & 0 & 0 & 0 \\ 0 & 0 & 0 & 1 & 0 & 0 & 0 & 0 & 0 & 0 \\ 0 & 0 & 0 & 0 & 1 & 0 & 0 & 0 & 0 & 0 \\ 0 & 0 & 0 & 0 & 0 & 1 & 0 & 0 & 0 & 0 \\ 0 & 0 & 0 & 0 & 0 & 0 & 1 & 0 & 0 & 0 \\ 0 & 0 & 0 & 0 & 0 & 0 & 0 & 1 & 0 & 0 \\ 0 & 0 & 0 & 0 & 0 & 0 & 0 & 0 & 1 & 0 \\ 0 & 0 & 0 & 0 & 0 & 0 & 0 & 0 & 0 & 1 \end{pmatrix}$$

kde diagonálne zložky sú koeficienty dĺžky elementárneho priestoru ds štvorcový

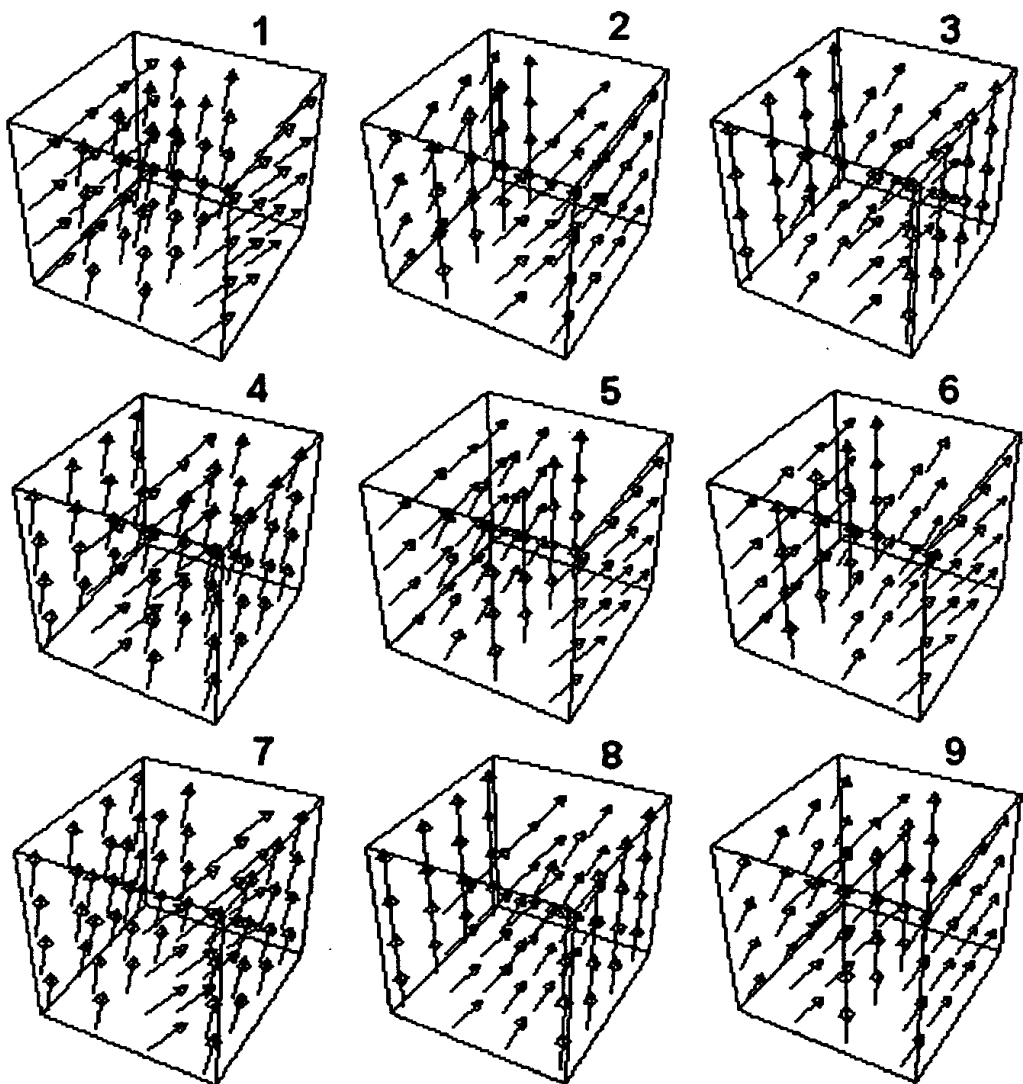
$$(ds)^2 = - (dt)^2 + (dx)^2 + (dy)^2 + (dz)^2$$

Výpočet vytvára tri napätia T^{xx} , T^{yy} a T^{zz} vo svojich príslušných smeroch $\{x, y, z\}$.

- [0011]

Odkazujúc na Obr. 6 Tieto tri napätia sú vynesené spoločne ako 3 vektorové pole D animovaný v priebehu času v deviatich snímkoch. Grafy ukazujú, že existuje zdvihová sila znázornená vertikálnymi šípkami, ako aj sila pohonu, ako je to znázornené rozťahnutými horizontálnymi šípkami. V priebehu času tieto vektory navzájom vymieňajú miesta, takže výťah sa stáva pohonom a naopak vytvára vlnité pole s energiou stresu okolo trupu.

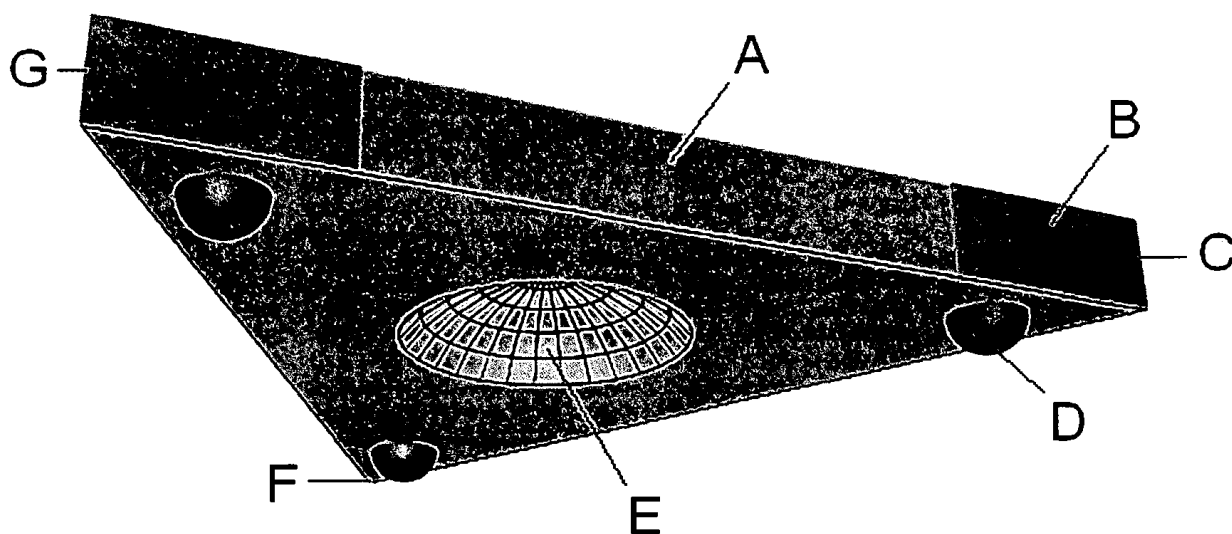
Figure 6



ZHRNUTIE VYNÁLEZU

- [0012]

Tento vynález je kozmická loď s trojuholníkovým trupom s nabitými plochými doskami na vertikálnych rohoch troch strán. Obe zadné rohy sa naplnia potenciálom V . Predný roh sa naplní potenciálom $-V$. Uhol 60° na rohu vytvára jedinečnosť hustoty náboja, ktorá vytvára obrovské horizontálne elektrické pole smerujúce od zadnej strany k prednej časti plavidla, ktoré je tiež rovnobežné s stranami trojuholníka. Súbor horizontálnych slotových antén umiestnených na stranách trojuholníkového trupu vytvára elektromagnetickú vlnu s elektrickým poľom polarizovaným vo vertikálnom smere. Táto kombinácia poľí vytvára priestorovú silu vo vertikálnom aj horizontálnom smere tak, že kozmická loď prijíma zdvihovú silu a silu pohonu.

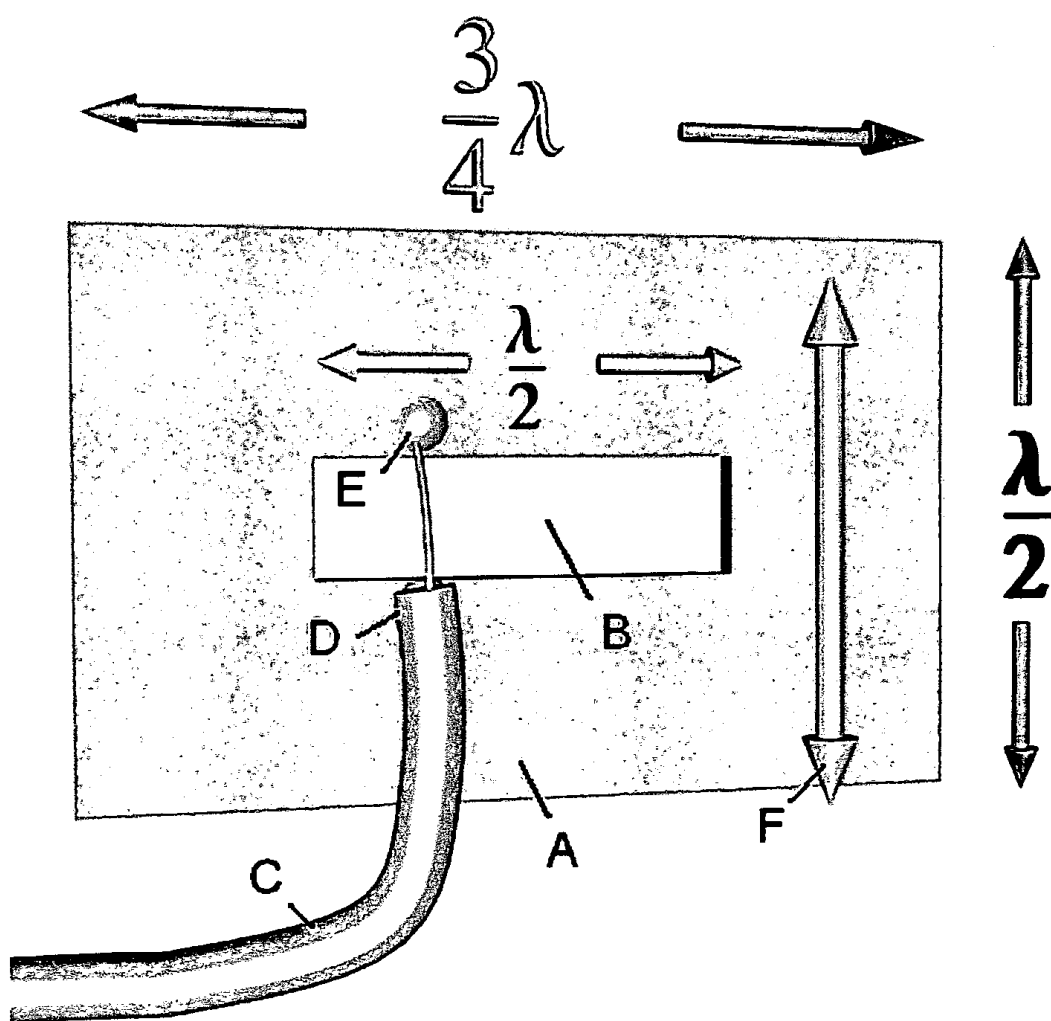


- **PODROBNÝ OPIS VYNÁLEZU**

- [0020]

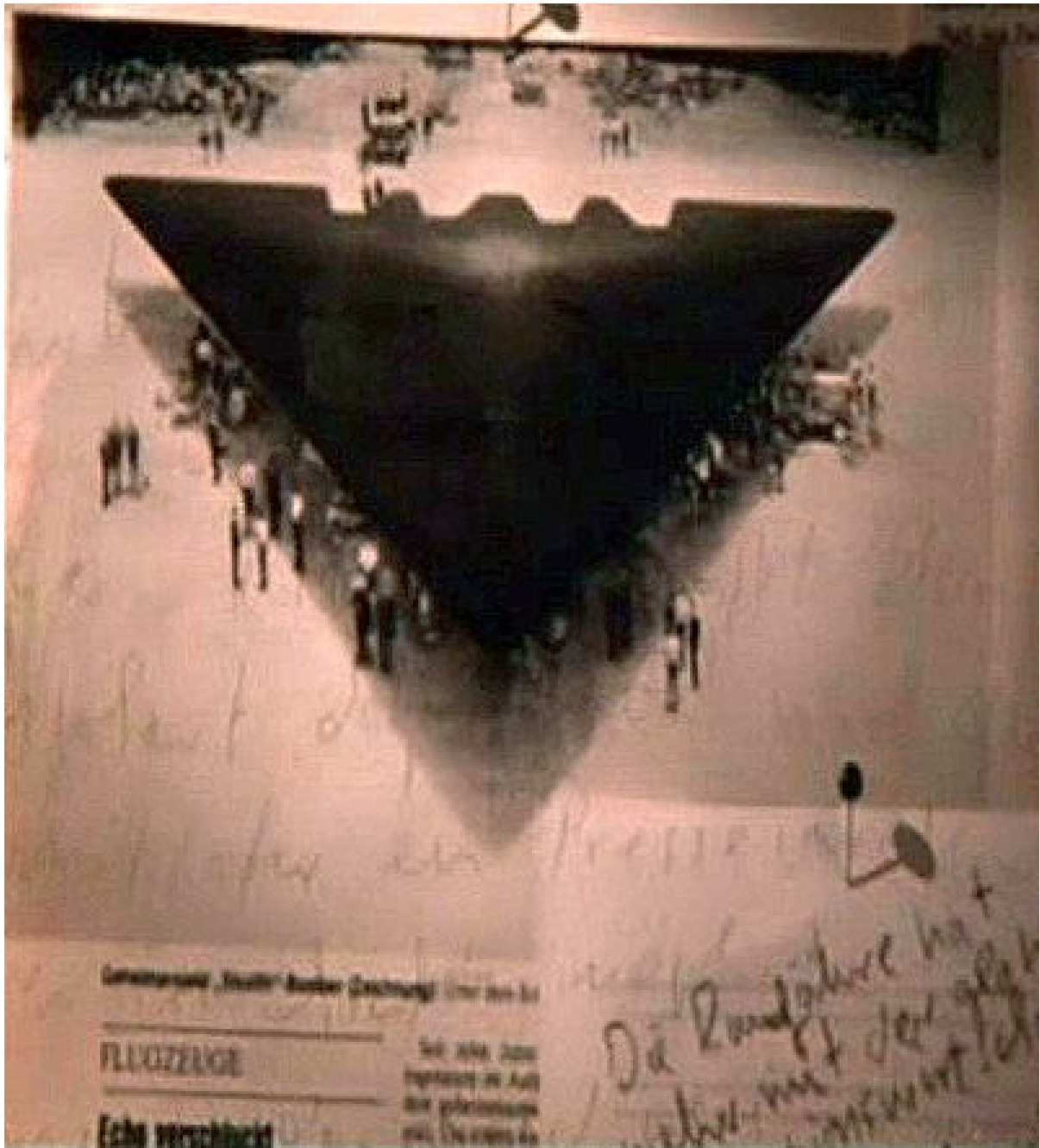
Odkazujúc na Obr. 7, anténa (A) je vyrobená z medi plechu, v ktorej bola vyrezaná obdĺžniková horizontálna drážka (B) pomocou lisovacieho lisu a upevnenia z plechu. Koaxiálny kábel zo zosilňovača a frekvenčného generátora je pripojený cez slot pomocou spájania vonkajšieho kábla (D) na jednu stranu štrbiny a vnútorného kábla (E) na druhú stranu štrbiny. Toto vytvára pozitívne a záporné náboje naprieč medzerou, ktorá tvorí vertikálne elektrické pole (F), ktoré vyžaruje kolmo na medený plech.

Figure 7



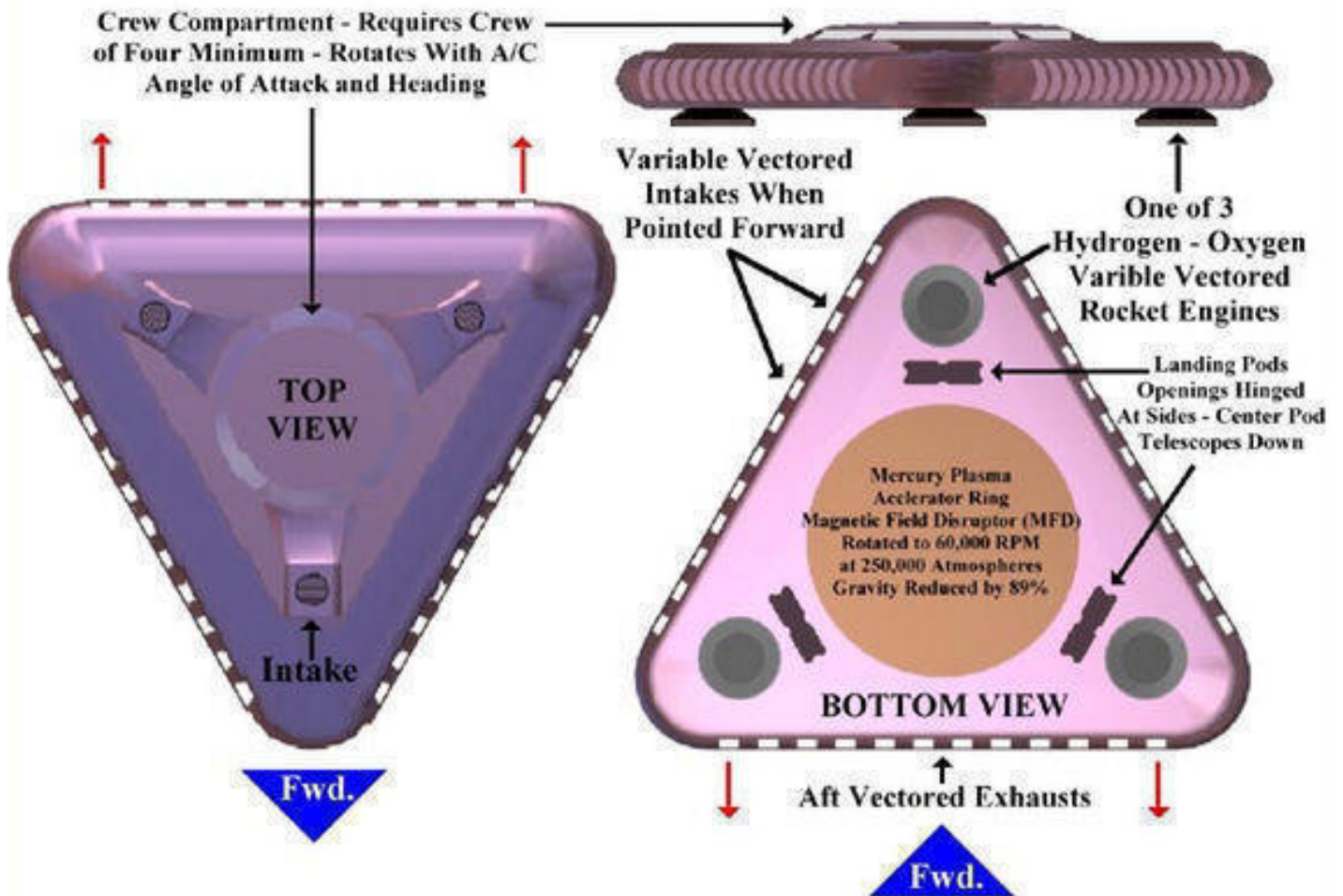
- [0021]

Hoci bol vynález opísaný s odkazom na špecifické uskutočnenia, ako je napríklad konkrétny anténny systém, odborníci v odbore ocenia, že je možné vykonať mnoho modifikácií a variácií bez toho, aby sa odklonili od poznatkov vynálezu. Všetky takéto modifikácie a variácie sú zahrnuté do rozsahu nasledujúcich nárokov.





USAF Top Secret Nuclear Powered Flying Triangle - The TR-3B



<https://www.google.sk/patents/US20060145019?dq=John+St.+Clair&hl=sk&sa=X&ved=0ahUKEwiR-YDb6YPXAhXNZVAKHZStCg0Q6AEIJjAA>